

논문 2005-42SD-11-3

# FBG를 이용한 온도 및 스트레인의 영향에 따른 전광필터 특성에 관한 연구

( A Study on the Characteristics of All-Optic Tunable Filter in various temperature and strain Using Fiber Bragg Grating )

장 우 순\*

( Woo-Soon, Jang )

## 요 약

21세기 광통신 분야는 보다 많은 정보를 동시에 전송하기 위해 다양한 다중화 방식들을 요구 받고 있다. 광섬유 Bragg 격자 소자를 이용한 모든 광 분기/결합 장치는 분기/결합할 수 있는 신호가 광섬유 격자 소자의 Bragg파장에 의해 정해지므로 하나의 광섬유 격자 소자는 고정된 한 채널만을 분기, 결합할 수 있다는 단점을 지니고 있다. 그러나 광섬유 격자에 온도와 스트레인(strain) 같은 외부 물리량을 가하게 되면 광섬유 격자의 주기가 변하게 되어 반사파장이 고정되지 않고 파장을 가변 할 수 있는 장점을 가지게 된다.

이에 본 논문에서는 광섬유 격자 소자에 가해진 온도, 스트레인에 의해 Bragg파장이 변화하는 성질을 이용하여 파장 가변형 Bragg 격자를 제작 및 실험을 통하여 전광필터 특성에 대하여 제시하였다.

## Abstract

In this study, we suggested wave-variable Bragg lattice using the characteristic of the Bragg wave that varies according to the change of the temperature imposed on the optical fiber lattice device, and experimented using a simulation test. We analyzed the results of the FBG change according to the change of the temperature obtained in the variable FEG computer simulation and experiment to suggest optimal data.

Therefore, utilizing wave-variable optical filter through FBG allows us to combine other channels beyond optical fiber lattice device wave, and can be used as a helpful device in the Dense Wavelength Division Multiplexed system with a channel intervention of 0.08nm(10GHz).

**Keywords :** FBG, Strain, Temperature, All-Optic Tunable Filter, Wavelength

## I. 서 론

현대는 정보의 활용 및 가치의 중요성으로 인하여 모바일통신 및 초고속정보통신망인 인터넷 사용자의 폭발적인 증가에 따라 정보의 전송 형태도 이미지와 동영상과 같은 대용량의 정보들이 요구되고 있는 현실에서 정보전송의 모든 분야에 있어서 통신의 수요가 기하급

수적으로 증가하고 있으며, 이를 대처하기 위한 초고속통신 기술에 대한 연구와 통신망의 광 대역화가 시급히 해결되어야 할 문제점들로 대두되고 있다<sup>[1]</sup>.

이에 현재 광통신 분야는 보다 많은 정보를 동시에 전송하기 위해 다중화 방식이 절실히 요구되고 있다. 따라서 이와 같은 문제점을 해결하기 위해 광을 매개로 한 파장분할 다중화기를 이용한 광통신 기술이 지속적으로 연구되어 광통신망의 보급이 빠르게 진행되고 있다<sup>[2,3]</sup>.

본 논문에서는 광섬유 격자 소자에 인가되는 온도와 스트레인에 의해 Bragg파장이 변화하는 성질을 이용하

\* 정희원, 호서대학교 전자공학과, 벨코리아(주)  
(Department of Electrical Electronic and  
Information Eng., Hoseo University & Bell Korea  
Co. Optical Communication Lab.)  
접수일자: 2005년8월19일, 수정완료일: 2005년11월3일

여 다양한 채널을 선택할 수 있는 파장가변형 광 필터를 제작하고 실험하였다.

## II. 본 론

### 1. 온도 및 스트레인 영향에 따른 파장 가변형 광 필터 이론

광섬유 격자에 의해 반사되는 빛의 중심파장은 Bragg 조건에 의해서 결정된다. 이 Bragg 조건에 의하면 반사되는 빛의 중심파장은 광섬유 격자의 유효굴절률과 격자주기에 비례하는 값을 갖는다. 광섬유 격자의 온도가 변하게 되면 열광학(thermooptic) 효과에 의해 유효굴절률이 변하고 열팽창(thermal expansion) 효과에 의해서 격자주기가 변하게 되어 Bragg 조건이 바뀌기 때문에 반사되는 빛의 중심파장도 변화하게 된다.

ⓐ 온도영향에 따른 반사 중심파장의 변화 식은 다음과 같다<sup>[4,5]</sup>.

$$\Delta\lambda_{BT} = \lambda_B \left( \frac{1}{n_{eff}} \frac{\partial n_{eff}}{\partial T} + \frac{1}{\Lambda} \frac{\partial \Lambda}{\partial T} \right) \Delta T \quad (2-1)$$

여기서  $\Delta T$ 는 온도변화량이다.

식 (2-1)을 다시 표현하면 식 (2-2)과 같다.

$$\Delta\lambda_{BT} = \lambda_B (\alpha_A + \alpha_n) \Delta T \quad (2-2)$$

여기서,

$$\alpha_A = \frac{1}{\Lambda} \frac{\partial \Lambda}{\partial T}, \quad \alpha_n = \frac{1}{n_{eff}} \frac{\partial n_{eff}}{\partial T}$$

이며,  $\Delta\lambda_{BT}$ 는 반사 중심파장 변화량,  $\alpha_A$ 는 광섬유의 온도에 따른 열학장계수로 실리카 광섬유에 대해  $0.55 \times 10^{-6}/^{\circ}\text{C}$ ,  $\alpha_n$ 은 온도에 의한 광섬유의 굴절률 변화를 나타내는 열 광학계수(thermal-optic coefficient)로서  $2.4 \times 10^{13} \text{ cm}^{-3}$ 의 게르마늄 도핑실리카 광섬유에서 약  $8.3 \times 10^{-6}/^{\circ}\text{C}$ 이다. 위와 같이 온도에 의한 Bragg 중심파장의 변화는 열팽창계수와 열광학계수 값의 합에 비례하여 변하는 것을 알 수 있으며, 굴절률 변화에 기인함을 알 수 있다<sup>[6, 7]</sup>.

따라서 온도 변화를 가하게 되면 결합에 의해 야기된 굴절률 변화량이 점점 줄어들게 된다. 광섬유 격자에서의 반사율은 격자의 굴절률 차에 의해서 결정되며 식

(2-3)으로 나타낼 수 있다.

$$R = \frac{\sinh^2 \sqrt{(\kappa L)^2 - (\zeta^+ L)^2}}{-\frac{\zeta^+}{\kappa^2} + \cosh^2 \sqrt{(\kappa L)^2 - (\zeta^+ L)^2}} \quad (2-3)$$

ⓑ 스트레인 영향에 따른 반사 중심파장의 변화 식은 다음과 같다<sup>[4, 5]</sup>.

$$\Delta\lambda_{BS} = \lambda_B \left( \frac{1}{n_{eff}} \frac{\partial n_{eff}}{\partial l} + \frac{1}{\Lambda} \frac{\partial \Lambda}{\partial l} \right) \Delta l \quad (2-4)$$

스트레인에 있어서 스트레인 변화에 가해지는 종 방향 스트레인  $\Delta\epsilon$ 에 대하여, 광섬유 격자의 파장 이동  $\Delta\lambda_{BS}$ 는 식(2-5)과 같이 표현된다<sup>[4, 5]</sup>.

$$\Delta\lambda_{BS} = \lambda_B (1 - \rho_e) \Delta\epsilon \quad (2-5)$$

여기서,  $\Delta\epsilon$ 는 종 방향 스트레인을 의미한다.

광섬유의 광탄성 계수  $\rho_e$ 는 식 (2-6)과 같다.

$$\rho_e = n_{\rho_{12}}^2 - v(\rho_{11} - \rho_{12})/2eff \quad (2-6)$$

여기서  $\rho_{11}$ ,  $\rho_{12}$ 는 스트레인 광학 텐서(strain-optics tensor)의 성분이며,  $n_{eff}$ 은 광섬유 코어의 굴절률이고  $v$ 는 Poisson's ratio이다.

### 2. 온도와 스트레인 영향에 따른 광섬유 Bragg 격자의 특성

온도의 변화에 따른 전송과 반사파장의 변화를 고찰하기 위해 식 (2-3)과 온도변화에 대한 결과 식 (2-1)을 Mathcad 2000 프로그램으로 시뮬레이션하여 가해진 온도 즉,  $27^{\circ}\text{C}$ 를 기준으로  $-50^{\circ}\text{C}$ 에서부터  $230^{\circ}\text{C}$ 까지 온도를 변화시킨 후 이에 따른 결과 전송스펙트럼 파장이동을 그림 2-1에 나타내었다.

그림 2-1의 결과로부터 온도의 변화에 따라 주기적으로 전송스펙트럼의 파장이 변하는 것을 알 수 있다. 또한 온도의 영향에 따른 중심파장의 변화를 고찰하기 위해 온도변화에 따른 중심파장 변화를 수치해석 하여 그림 2-2에 나타내었다.

스트레인변화에 따른 전송과 반사파장의 변화를 고찰하기 식 (2-3)과 스트레인변화에 대한 결과 식 (2-4)을 Mathcad 2000 프로그램으로 시뮬레이션하여 가해진 스트레인 즉,  $0[\mu\epsilon]$ 에서부터  $1411.7[\mu\epsilon]$ 까지에 따른 전

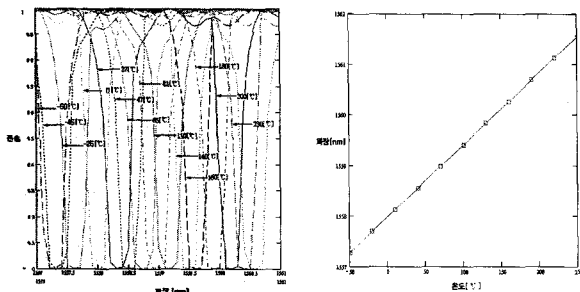


그림 2-1. 온도영향에 따른 그림 2-2. 온도에 따른 파  
전송스펙트럼  
장의 변화

Fig. 2-1. The test result of Fig. 2-2. The test result of  
transmission  
spectra against  
temperature.

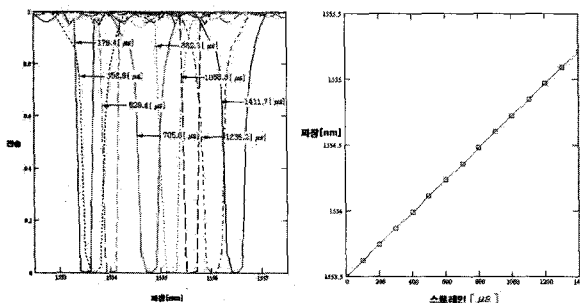


그림 2-3. 스트레인 영향에 따른 전송 스펙트  
럼

Fig. 2-3. The result of  
transmission  
spectra against  
strain.

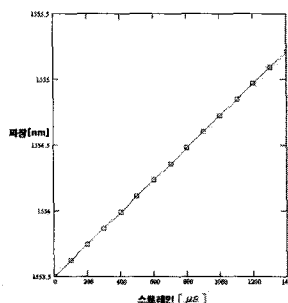


그림 2-4. 스트레인에 따른 파장의 변화

Fig. 2-4. The result of  
wavelength  
against strain.

송 스펙트럼의 이동을 그림 2-3에 나타내었다.

그림 4-3의 결과로부터 스트레인변화에 따라 주기적으로 전송스펙트럼의 파장이 변화하는 것을 알 수 있다.

또한 스트레인의 영향에 따른 중심반사파장의 변화를 고찰하기 위해 스트레인변화에 따른 중심파장 변화를 수치해석 하여 그림 2-4에 나타내었다. 그림의 결과에서처럼 광섬유 Bragg격자에  $0[\mu\epsilon]$ 부터  $1411.7[\mu\epsilon]$ 까지 스트레인변화를 주었을 때 파장의 변화는  $1553.500\text{nm}$ 에서부터  $1555.230\text{nm}$  까지 약  $1.730\text{nm}$  정도 파장이 선형적으로 이동함을 알 수 있다.

### III. 실험 및 결과 고찰

#### 1. 실험 측정 장치의 구성

본 논문에서 제시한 파장가변형 광섬유 Bragg격자의

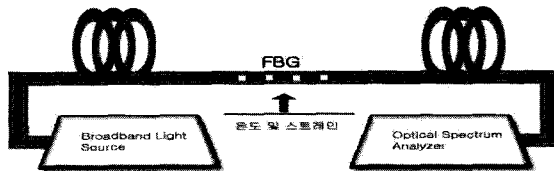


그림 3-1. 전체 실험 측정 장치 구성도  
Fig. 3-1. The experimental configuration.

온도와 스트레인에 따른 파장가변 특성을 측정하기 위한 실험 측정 장치의 구성은 그림 3-1과 같다. 본 실험에 있어서 광섬유 Bragg격자는 광감성 파이버에 아르곤 레이저를 조사하여 격자를 새기는 위상마스크 방법에 의하여 제작 하였으며, 특정 파장의 광 신호만을 추출할 수 있다는 장점을 가지고 있다. 그림 3-2는 실험에 사용한 광섬유 Bragg 격자의 구성으로 중심파장  $1558.340\text{nm}$ , 격자길이  $25\text{mm}$ , 격자주기  $0.53\mu\text{m}$ , 코어의 반경  $2.625\mu\text{m}$ , 클래딩의 반경  $62.5\mu\text{m}$ 이다.

본 논문에는 온도 및 스트레인의 변화에 따른 중심파장의 이동변화를 보다 정확한 데이터를 측정하기 위해 온도 및 스트레인에서의 파장범위를 각각 달리하여 실험하였다. 온도에 따른 파장가변을 시키기 위해 파장범위  $1558.340\text{nm}$ 에서  $1560.560\text{nm}$ 으로 선폭은 약  $2.3\text{nm}$ 이고, 반사도는 약  $-30\text{dB}$ 이며, 스트레인에 따른 파장가변을 시키기 위해 파장범위  $1553.500\text{nm}$ 에서  $1556.460\text{nm}$ 으로 선폭은  $0.7\text{nm}$ 이고, 반사도는 약  $-28\text{dB}$ 를 각각 사용하였다.

#### 2. 광섬유 Bragg격자의 초기 특성

그림 3-2와 3-3은 온도 및 스트레인 변화에 따른 파장이동을 측정하기 위하여 실제 제작한 광섬유 Bragg 격자의 초기 특성을 측정한 것으로 온도  $27^\circ\text{C}$ 에서 Bragg 반사 파장은  $1558.340\text{nm}$ 이며, 선폭은 약  $2.3\text{nm}$ 이고 반사도는 약  $-30\text{dB}$ 이고, 스트레인  $0[\mu\epsilon]$ 에서 Bragg 반사 파장은  $1553.500\text{nm}$ 이며, 선폭은 약  $0.7\text{nm}$ 이고 반사도는 약  $-28\text{dB}$ 로 측정되었다.

#### 3. 파장가변형 광섬유 Bragg격자의 특성 측정

##### 3-1. 온도와 스트레인 변화에 따른 광섬유 Bragg격자의 특성

그림 3-4와 3-5는 온도와 스트레인 변화에 따른 파장이동을 측정하기 위하여 실제 제작한 광섬유 Bragg

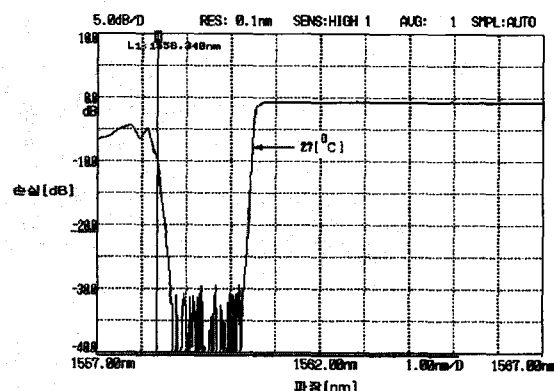


그림 3-2. 온도 27°C에서 초기 측정데이터  
Fig. 3-2. The initial measured data against temperature 27°C.

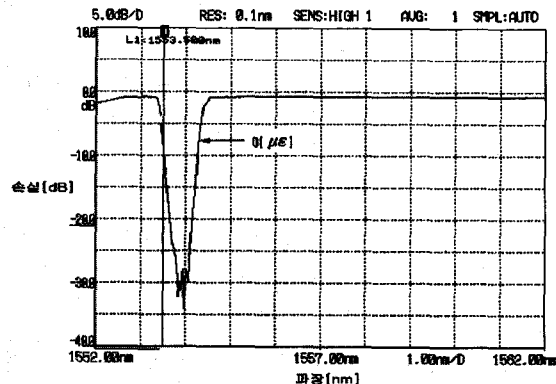


그림 3-3. 스트레인 0[με]에서 초기 측정데이터  
Fig. 3-3. The initial measurement data against strain 0[με].

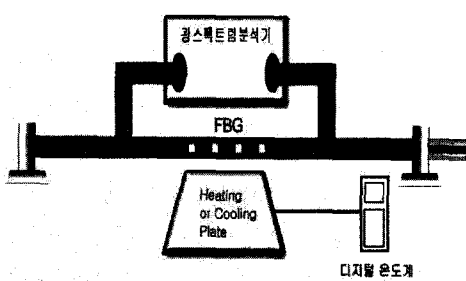


그림 3-4. 온도변화에 따른 중심파장의 이동 측정  
실험 구성도

Fig. 3-4. The experimental diagram of the measurement of central wavelength shift in various temperature.

격자를 그림과 같이 구성하여 실험하였다.

그림 3-6 (a), (b)는 광섬유 Bragg격자에 온도를 가하였을 때 반사중심파장의 변화이동을 실험을 통하여 각 해당 온도에서 측정한 결과를 나타내었다. 그림 3-5

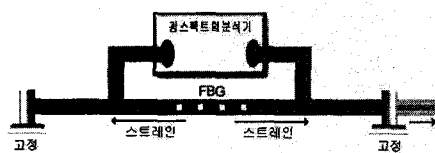


그림 3-5. 스트레인 변화에 따른 중심파장의  
이동 측정 실험 구성도

Fig. 3-5. The experimental diagram of the measurement of central wavelength shift in various strain

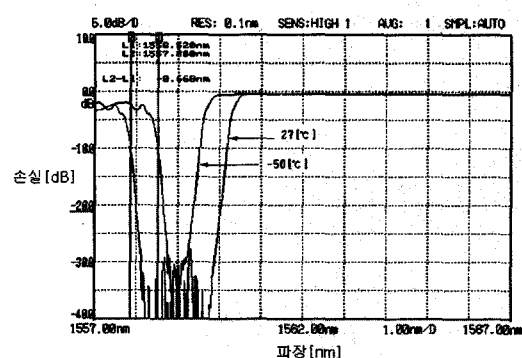


그림 3-6.(a) 27°C와 -50°C에서의 중심파장 변화  
Fig. 3-6.(a) The shift of the central wavelength when temperature is dropped by 50°C.

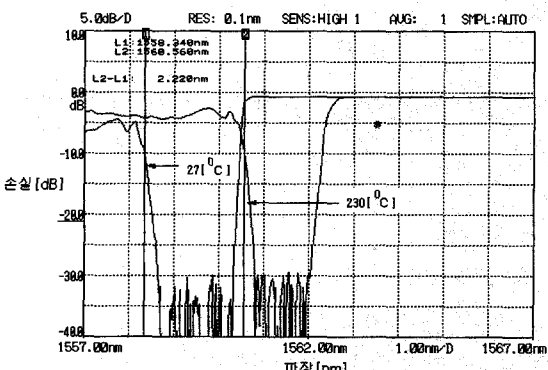


그림 3-6.(b) 27°C와 230°C에서의 중심파장 변화  
Fig. 3-6.(b) The shift of the central wavelength when temperature is raised by 230°C.

(a)는 온도변화를 -50°C 가하였을 때로 중심파장은 1558.340nm에서 1557.860nm로 중심파장의 변화 차는 -0.660nm로 변화되었으며, 선폭은 약 1.5nm이고, 반사도는 약 -30dB이다.

그림 3-6 (b)는 온도변화를 230°C로 가하였을 때 중심파장으로 1558.340nm에서 1560.560nm로 중심파장의 변화 차는 2.220nm로 이동하였고, 선폭은 약 1.55nm이고, 반사도는 약 -30dB를 나타내었다.

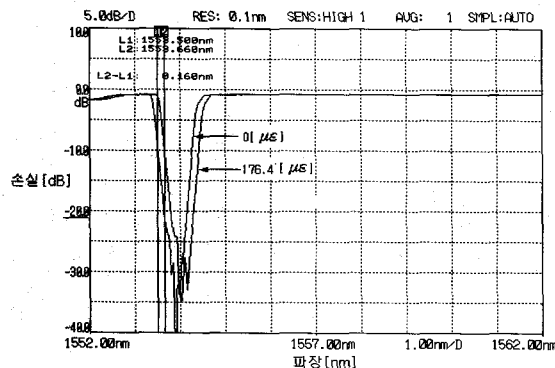


그림 3-7.(a) 스트레인이  $0[\mu\epsilon]$  과  $176.4[\mu\epsilon]$ 인 경우  
우 중심파장 변화  
Fig. 3-7.(a) The shift of the central wavelength  
when Strain is raised by  $176.4[\mu\epsilon]$ .

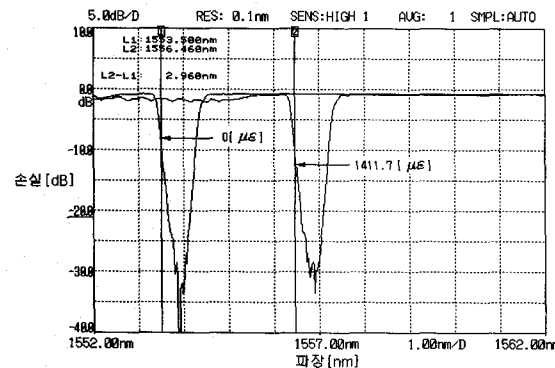


그림 3-7.(b) 스트레인이  $0[\mu\epsilon]$  과  $1411.7[\mu\epsilon]$ 인 경우  
우 중심파장 변화  
Fig. 3-7.(b) The shift of the central wavelength  
when Strain is raised by  $1411.7[\mu\epsilon]$ .

그림 3-7 (a), (b)는 광섬유 Bragg 격자에 스트레인을 가하였을 때 반사중심파장의 변화이동을 실험을 통하여 각 해당 스트레인에서 측정한 결과를 나타내었다.

그림 3-7 (a)는 스트레인 변화를  $0[\mu\epsilon]$ 과  $176.4[\mu\epsilon]$ 를 가하였을 때로 중⼼파장은 1553.500nm에서 1553.660nm로 중⼼파장의 변화 차는 0.160nm로 변화되었으며, 선폭은 약 0.7nm이고, 반사도는 약 -28dB이다. 그림 3-7 (b)는 스트레인 변화를  $0[\mu\epsilon]$ 과  $1411.7[\mu\epsilon]$ 로 가하였을 때 중⼼파장으로 1553.500nm에서 1556.460nm로 중⼼파장의 변화 차는 2.960nm로 이동하였고, 선폭은 약 0.7nm이고, 반사도는 약 -28dB를 나타내었다.

그림 3-8(a)과 3-8(b)은 시뮬레이션 및 실험을 통한 각 해당 온도 및 스트레인을 가했을 때의 중⼼파장 변화와 그에 따른 중⼼파장의 변화 차, 선폭, 반사도를 나타냈으며, 제시된 데이터에 준하여 시뮬레이션과 실험 데이터에 대하여 비교분석하였다.

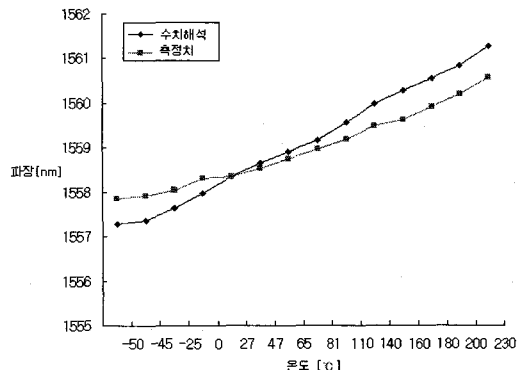


그림 3-8.(a) 시뮬레이션 및 실험을 통한 온도  
변화에 따른 중⼼ 파장의 변화  
Fig. 3-8.(a) The comparative graph of shifting  
central wavelength between simulation  
and experiment in various temperature.

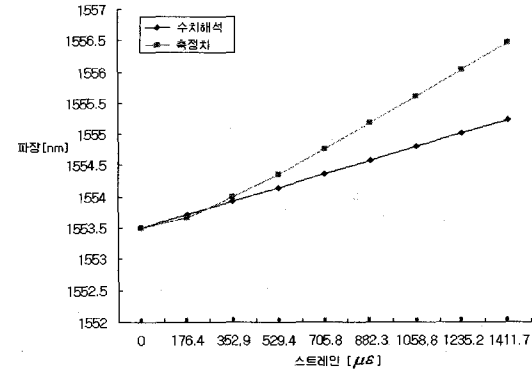


그림 3-8.(b) 시뮬레이션 및 실험을 통한 스트레인  
변화에 따른 중⼼파장 변화  
Fig. 3-8.(b) The comparative graph of shifting  
central wavelength between simulation  
and experiment in various Strain.

#### IV. 결 론

광섬유 격자는 광섬유 코어에 형성된 굴절률 주기의 변화와 굴절률의 크기 변화에 의한 파장 선택도를 가지므로, 가해진 물리량에 의하여 굴절률의 크기와 주기의 변화가 있을 경우 그에 따른 Bragg파장의 변화를 보인다. 가해진 물리량에 대한 Bragg파장의 변화율은 선형적이며 광섬유에 새겨진 광섬유 Bragg격자에 외부적으로 온도 및 스트레인 등의 물리적 에너지를 가하여 광섬유 격자소자의 Bragg 파장을 변화시켜 원하는 채널을 선택할 수 있는 채널 가변과 파장가변형 광 필터의 특성을 고찰하고 실험하였다. 실험 결과에서 알 수 있듯이 온도의 변화(-50°C ~ 230°C)에 있어서의 중⼼파장 변화 차는 2.220nm로 나타났으며, 스트레인의 변화( $0[\mu\epsilon]$  ~  $1411.7[\mu\epsilon]$ )에 있어서의 중⼼파장 변화 차는

2.960nm으로 나타났다. 온도와 스트레인을 통한 중심파장의 변화 차를 비교할 때 스트레인에 의한 변화가 더 많이 변화됨을 알 수 있다.

따라서 본 논문을 통한 온도와 스트레인 변화를 인가할 때 변화된 광섬유 Bragg 격자의 중심파장을 이용하여 파장가변형 광 필터를 활용할 경우 온도 보다는 스트레인에 의한 중심파장 변화 차를 이용한다면 보다 넓은 대역폭으로 다 채널을 확보할 수 있어 광통신 시스템 구축 시 매우 유용한 소자로서 사용될 수 있을 것으로 사료된다.

### 참 고 문 헌

- [1] 장우순, "광대역통신망과 광통신기술" 도서출판 정일 pp. 1-20, 326-331, 2002.
- [2] Jay N. Damask and Hermann A. Hause, "Wavelength Division Multiplexing using Channel Droping Filters", *J. Lightwave Technol.*, vol. 11, No. 3, pp. 424-428, 1993.
- [3] 장우순, 정진호, "고밀도 파장분할 다중화 전송방식 (DWDM) 시스템을 위한 FBG 필터 설계에 관한 연구", 한국전자과학회, 제11권 제4호, pp. 534-543, 2000.
- [4] Andreas Othonos, Kyriacos Kalli, "Fiber Bragg Gratings", ARTECH HOUSE INC, pp. 98-99, pp.194, 2000.
- [5] M. g. xU, "Discrimination between strain and temperature effects using dual-wavelength fiber grating sensors," *Electron. Lett.*, vol. 30, pp. 1085-1087, 1994.
- [6] W. W. Morey et al. "Fiber optic Bragg grating sensor," *Proc. SPIE*, vol. SPIE-1169, pp. 98-107, 1989.
- [7] Y. J. Rao, "Combined spatial and time division-multiplexing scheme for fiber grating sensors with drift-compensated phase-sensitive detection," *Opt. Lett.*, vol. 20, pp.

---

### 저 자 소 개

장 우 순(정회원)

1992년 2월 호서대학교

전자공학과 학사 졸업.

1994년 8월 중앙대학교 정보통신 공학과 석사 졸업.

2004년 2월 호서대학교

전자공학과 박사 졸업.

1998.03.01~2003.02.28 신성대학, 동아방송대학, 호서대학교 전임겸임교수 역임

2000.02.21~2005.11 현재 서울호서전문학교 영상 정보통신과 학과장 및 전임교수

1992.02.14~2005.11 현재 벨코리아(주) 광통신연구소 연구실장

<주관심분야 : 통신반도체소자, DMD, MEMS, 광디스플레이, 광네트워크 등>